

***Streptomyces albus*로부터 분리된 Type II Polyketide Synthase 유전자의 염기 서열 및 분석**

권형진^{1,3} · C.R. Hutchinson² · 진형종^{1,2} · 김수언³ · 이계준⁴ · 서주원*¹

¹명지대학교 생명과학연구소, ²Wisconsin 대학교 약학대학 및 세균학과

³서울대학교 농화학과 및 농업생물 신소재 연구센타, ⁴서울대학교 분자미생물학 연구센타

Nucleotide Sequence and Analysis of the Genes for Type II Polyketide Synthase Isolated from *Streptomyces albus*

Hyoung-Jin Kwon^{1,3}, C.R. Hutchinson², Hyung-Jong Jin^{1,2},
Soo-Un Kim³, Kye-Joon Lee⁴ and Joo-Won Suh*¹

¹Biotechnology Research Institute Myoung Ji University, Youngin, 449-728 Korea

²School of Pharmacy & Dept. of Bacteriology, University of Wisconsin-Madison,
Wisconsin 53706, USA

³Dept. of Agricultural Chemistry and The Research Center for New Biomaterials in Agriculture,
Seoul National University 441-744, Korea

⁴The Research Center for Molecular Microbiology, Seoul National University 151-742, Korea

Abstract — *Streptomyces albus* wild type ATCC 21838 produced salinomycin, polyether antibiotic. To clone genes related salinomycin production, a genomic library was screened using *actI* as a DNA hybridization probe. pWHD 210 was isolated, which contained an approximately 24 kb of insert DNA. A 3.8 kb region in the 24 kb insert DNA was hybridized to *actI* and the nucleotide sequence of this region was determined. Two open reading frames found in the same direction were homologous to genes for β -keto acyl synthase/acyl transferase and chain length determining factor in type II PKS (polyketide synthase). The genes were components of minimal type II PKS genes, highly conserved and showed the strong similarity to other type II PKS genes known today.

Polyketide 계 화합물들은 그 생리적 활성으로서 상업적으로 중요한 위치를 차지하고 있는데, 이는 주로 항생제로서의 이용에 있다고 볼 수 있다. Polyketide의 생합성 효소들을 통칭하여 polyketide synthase(PKS)라 하며, 이들 PKS 유전자는 크게 두 가지의 형태로 나눌 수 있다(11). 하나의 multifunctional polypeptide에 의해 일련의 생합성이 진행되는 경우는 type I으로 분류된다(11, 13). Type I으로 분류되는 erythromycin의 생합성 유전자는 “modular” 구조를 갖는 multifunctional 효소를 생성하며, 각 module의 작용에 의해 한 회씩의 acyl 축합 반응과 이에 따른 keto 작용기의 변환이 이루어진다(3-5). 지금까지 알려진 다른 모든 macrolide PKS들 역시 modular 구조를 갖는다고 알려져 있다(13). Aromatic polyke-

tide들의 생합성 과정은 독립적인 monofunctional 단백질들의 효소 작용에 의해 이루어지며, 이들 각각의 효소 활성 부위가 비공유적 결합에 의해 모여져 multifunctional complex의 형태를 이룬다. 이와 같은 경우를 type II로 분류한다(11).

현재까지 많은 aromatic PKS 유전자들의 염기 서열이 밝혀졌으며, 염기 서열로부터 유추한 아미노산 서열의 비교 분석으로서 그 유전자의 조성이 높은 보존도를 유지하고 있음을 알 수 있었다(6, 12, 13, 16). 이러한 유전자 상호간의 유사성은 β -keto acyl synthase/acyltransferase(KS)와 chain length determining factor(CLF) 유전자, 그리고 acyl carrier protein(ACP) 유전자를 중심으로 나타나며, 이 영역과 인접하여 존재하는 여타의 생합성 유전자들은 생성되는 polyketide 화합물의 구조에 상응하는 구성으로 나타난다. 최근에 유전자 재조합 기술을 이용하여 PKS 작용의 조절 기작을 규명하려는 접근 방법이 진행되

Key words: *Streptomyces albus*, polyketide synthase (PKS), salinomycin, polyether

*Corresponding author

어지고 있다. 이는 지금까지 클로닝된 type II-PKS 유전자들의 조합으로부터 생성되는 hybrid polyketide의 구조를 규명하는 접근 방식으로서 “mixing and matching”이라 일컬어 진다(7, 8, 10, 13, 14, 18-21, 24). 이는 많은 set의 PKS 유전자들이 cloning 되고 그 염기 서열이 밝혀짐으로서 가능하여진 일이다. 이들의 특이적 조합이 생성하는 화합물들의 구조를 연구함으로서 다양한 구조의 polyketide 골격이 생성되는 효소적 기작의 이해가 부분적으로 가능해졌다. 가까운 미래에 원하는 polyketide 구조를 분자 생물학적 기술을 이용하여 얻을 수 있으리라 믿어지며, 이에 선행하여 다양한 방선균 종에서의 보다 많은 PKS 유전자의 cloning과 그 염기 서열 결정이 필수적이라고 생각된다.

이와 같은 연구 배경에서, 본 논문에서는 salinomycin(26, polyketide-derived polyether)의 생성 균주인 *Streptomyces albus*로부터의 PKS 유전자의 분리에 대하여 보고하고자 한다.

재료 및 방법

사용 균주 및 프라스미드

Streptomyces albus ATCC 21838의 유전자 library의 작성에는 *Escherichia-Streptomyces* shuttle cosmid vector pKC 505(Eli Lilly)가 이용되었다. pKC 505 cosmid library로부터 얻어진 pWHM210에 존재하는 약 24 kb의 *Streptomyces albus* DNA로부터의 세부적인 subcloning을 위한 vector로는 pGEM-3zf(–)(Promega)를 이용하였다. pGEM-3zf(–)에 cloning 된 4~5 kb의 DNA를 *Streptomyces glaucescens* 내로 전이, 발현시키기 위하여 *Streptomyces* vector인 pIJ 702를 사용하였다. 염기 서열 결정을 위한 subcloning에는 M13mp19(New England Biolabs)를 사용하였다. pGEM-3zf(–)의 형질 전환 숙주로는 *E. coli* JM109(*recA1*, *endA1*, *gyrA96*, *thi*, *hsdR17*, *supE44*, *relA1*, (*lac-proAB*), F, *traD36*, *proAB*, *lacI^qZM15*를, 염기 서열 결정을 위한 M13mp19의 형질 전환 숙주로는 *E. coli* DH5αF'™(F', φ 80, *dlacZ*, Δ*M15*, Δ(*lacZYA-argF*), U169, *recA1*, *endA1*, *hsdR17*, (rk⁻, mk⁺), *supE44*, λ-*thi-1*, *gyrA*, *relA1*)를 이용하였다.

사용배지 및 배양조건

pGEM-3zf(–)으로 형질 전환된 *E. coli* 배양은 50 μg/ml의 ampicillin을 첨가한 LB 배지(0.5% yeast extract, 1% NaCl, 1% tryptone)를 사용하였다. *E. coli* DH5αF'™의 형질 전환 및 이로부터의 single-stran-

ded DNA 분리를 위한 배양에는 ampicillin을 첨가하지 않은 LB 배지를 이용하였다. *E. coli*의 배양은 37°C에서 실시하였다.

사용시약 및 효소

Agarose, lysozyme, ammonium persulfate, acrylamide, N,N'-methylenebisacryl-amide, 5-bromo-4-chloro-3-indoyl-β-D-galactopyranoside(X-gal), isopropyl-β-D-thiogalactoside(IPTG) 등은 Sigma Co.에서, Phenol은 Fluka Co.에서, 그리고 기타 일반 시약류는 시판 일급 이상의 분석용을 사용하였다.

T4 DNA ligase, Calf Intestine Alkaline Phosphatase, dNTP, EcoRI, HindIII, SalI, BamHI, PstI, PvuII, SmaI과 BglII는 Pharmacia 제품을 이용하였다. Xhol은 Boehringer Mannheim, SacI과 NcoI은 한국 제철 화학(KOSCO), SspI과 NdeI은 BRL에서 구입하였다.

United States Biochemical(USB)의 제품인 Sequenase version 2.0 kit를 이용하여 DNA 염기 서열을 결정하였다. Template DNA의 Nested Deletion을 위하여 Promega의 Erase a Base kit를 이용하였다. [α -³²P] dATP, [α -³²P] dCTP, [α -³⁵P] dCTP, Hybond-N membrane과 ECL gene detection system RPN 2101-version 2는 Amersham의 제품을 이용하였다.

Agarose gel로부터 DNA를 분리하기 위하여 DEAE cellulose membrane(Schlicher and Schyell NA-45)을 이용하거나, Bio 101 Inc.의 제품인 Gene Clean kit를 이용하였다.

프라스미드 DNA의 분리 및 형질 전환

프라스미드 분리는 alkaline-SDS 처리에 의해 프라스미드를 분리한 다음 ammonium acetate-isopropanol을 이용하여 DNA를 침전 분리시키는 방법을 이용하여 정제하였다(22). 형질 전환을 위한 competent cell은 Sambrook 등(22)의 방법을 이용하여 준비하였다. 준비된 competent cell은 200 μl aliquot의 0.1 M CaCl₂-15% glycerol 혼탁액 상태로 -70°C에 보관하며 사용하였다. 형질 전환 방법 또한 Sambrook 등의 방법을 따라 실시하였다.

Single stranded phage stock의 준비 및 single stranded DNA의 분리

적절한 크기의 *S. albus* DNA로 재조합된 M13mp19 double stranded DNA로 위에 설명한 방법에 따라 *E. coli* DH5αF'을 형질 전환시킨 후, 3 ml의 top agar

상에서 20 μl 의 2% X-gal, 10 μl 의 20% IPTG와 200 μl 의 숙주 세포 LB 혼탁 배양액과 고루 섞은 후 LB plate에 부어 37°C에서 하룻밤 배양하였다. 생성된 plaque을 취하여 1 ml의 LB 액체 배지로 옮긴 후 상온에서 2시간 이상 방치한 후 4°C에 보관하였다. 이상은 Sambrook 등의 방법을 따른 것이며, 이렇게 준비된 phage stock으로부터의 single stranded DNA 분리 또한 Sambrook 등의 방법에 따라 진행하였다. M13 phage를 PEG로 침전시킨 후, phenol 추출 및 EtOH 침전으로 single stranded DNA를 분리하였다.

염기 서열 결정

염기 서열 결정은 Sequenase version 2.0 kit를 이용, Sanger 방법(23)의 원리에 근거한 USB manual에 따라 실시하였다. Template로 double stranded DNA를 사용할 경우는 DNA 용액에 0.5 체적의 0.4 M NaOH와 0.4 mM EDTA 혼합 용액을 첨가하여 37°C에서 30분간 처리하여 denaturation 시킨 후 0.1 체적의 3 M NaOAc(pH 4.5~5.5)와 3 체적의 EtOH을 가하여 침전 분리한 DNA 3 μg 을 이용하였다. Single stranded DNA의 경우는 전항에 설명한 방법에 따라 분리한 DNA 1 μg 을 template로 이용하였다. *Streptomyces* DNA의 높은 GC 함량에 따른 핵산의 이차 구조 생성을 줄이기 위하여 7-deaza dNTP를 이용하여 termination 반응을 진행하였으며, 서열 결정이 확실하지 않은 부분에 한하여 dITP를 이용하였다. 합성 반응이 끝난 각 반응물은 90°C로 가열하고 얼음물로 빠르게 식힌 후, 즉시 8.3 M Urea를 포함한 polyarylamide gel(8%, 40×44×0.035 cm³)에 loading하여 전기 영동하였다. 전기 영동이 끝난 gel은 gel drier(Vision Co.)를 이용하여 수분을 제거한 후 intensifying screen^o 부착된 diskette에서 X-ray film(Curix XP, Agfa)에 적정 시간 노출하였다. X-ray film의 감광은 ³²P-dNTP을 이용할 경우는 -70°C에서 ³⁵S-dCTP의 경우는 상온에서 진행하였다.

Oligonucleotide는 ABI(Applied Biotechnology Inc.) 제품인 nucleotide synthesizer를 이용하여 17~18 mer를 합성하여 사용하였다. 염기서열 결정 방법은 위와 동일하게 진행하였으나, template에 대하여 3~5 당량의 oligomer를 사용하였다.

Southern hybridization

actI probe는 BRL의 nick translation kit를 사용하여, BRL manual에 따라 준비하였다. *actI*은 *Streptomyces coelicolor*로부터 얻어진 PKS 유전자로서, pol-

yketide 계 색소인 actinorhodin 생합성 과정의 KS/AT, CLF와 ACP 유전자를 포함하고 있다(6, 9). *actI*은 *BamHI* partial digested 절편으로서 그 크기는 3106 bp^o이며(6), pBR 329의 *BamHI* site에 subcloning 된 것을 사용하였다. Prehybridization은 50°C에서 2시간 동안 진행한 후 hybridization은 50°C에서 밤새 진행하였다(2, 16, Hopwood, D.A.; personal communication). 준비된 blot은 2×SSC로 50°C에서 15분 동안 세척하고, 2×SSC, 0.1% SDS로 50°C에서 30분 동안 세척한 후 0.1×SSC로 50°C에서 10분 세척하였다.

결과 및 고찰

*Streptomyces albus*로부터의 PKS 유전자 분리

*Streptomyces albus*로부터 salinomycin 생합성 유전자를 클로닝하기 위하여 *Escherichia-Streptomyces* shuttle cosmid vector pKC 505(Eli Lilly)을 이용하여 *S. albus* ATCC 21838 종의 유전자 library를 만들었다. 이 유전자 library에 대하여 *actI*을 probe로 이용하여 Southern hybridization을 실행하여 pWHM 210을 분리하였다(*S. albus* ATCC 21838 계놈 DNA에 대하여 *actI*을 hybridization 시켰을 때 하나의 *actI* 유사 유전자 신호만이 검출되었다. results not shown). *actI*은 *Sterptomyces coelicolor*에서 분리된 actinorhodin 생합성 유전자의 일부로서 polyketide 생합성과정 중의 초기 반응의 효소를 코딩하고 있다(6, 9, 재료 및 방법; Southern hybridization). *act* 유전자는 최초로 분리, 동정된 typeII PKS 유전자이며, Southern hybridization 실험에서 *actI*이 다른 polyketide 생성 균주의 genomic DNA 절편에 강하게 결합한다는 연구 결과가 보고된 후 *act* 유전자를 이용하여 많은 typeII PKS 유전자들이 클로닝되었다(13, 16). *act* 유전자를 포함한, 많은 typeII PKS 유전자의 연구로부터 *actI* 유사 영역이 코딩하는 효소가 β -ketoacyl synthase/acyl transferase, chain length determining factor와 acyl carrier protein 임이 밝혀졌으며, 이들을 통칭하여 minimal PKS라고 한다(19).

pWHM 210은 약 24 kb의 *S. albus* DNA를 갖고 있었으며 그 제한효소지도는 Fig. 1과 같다. pWHM 210으로 20개의 salinomycin(-) 변종에 대하여 complementation 실험을 실시하였을 때 하나의 변종에서 polyether 생성 능력의 복구를 확인할 수 있었다(results not shown, *S. albus*의 salinomycin(-) 변종들에 대하여서는, 생합성 과정상의 변이 위치를 밝히지 못하였다). pWHM 210으로 형질 전환된 *Streptomyces lividans*에서 erythrocyte에 대하여 이온 투과 활성을

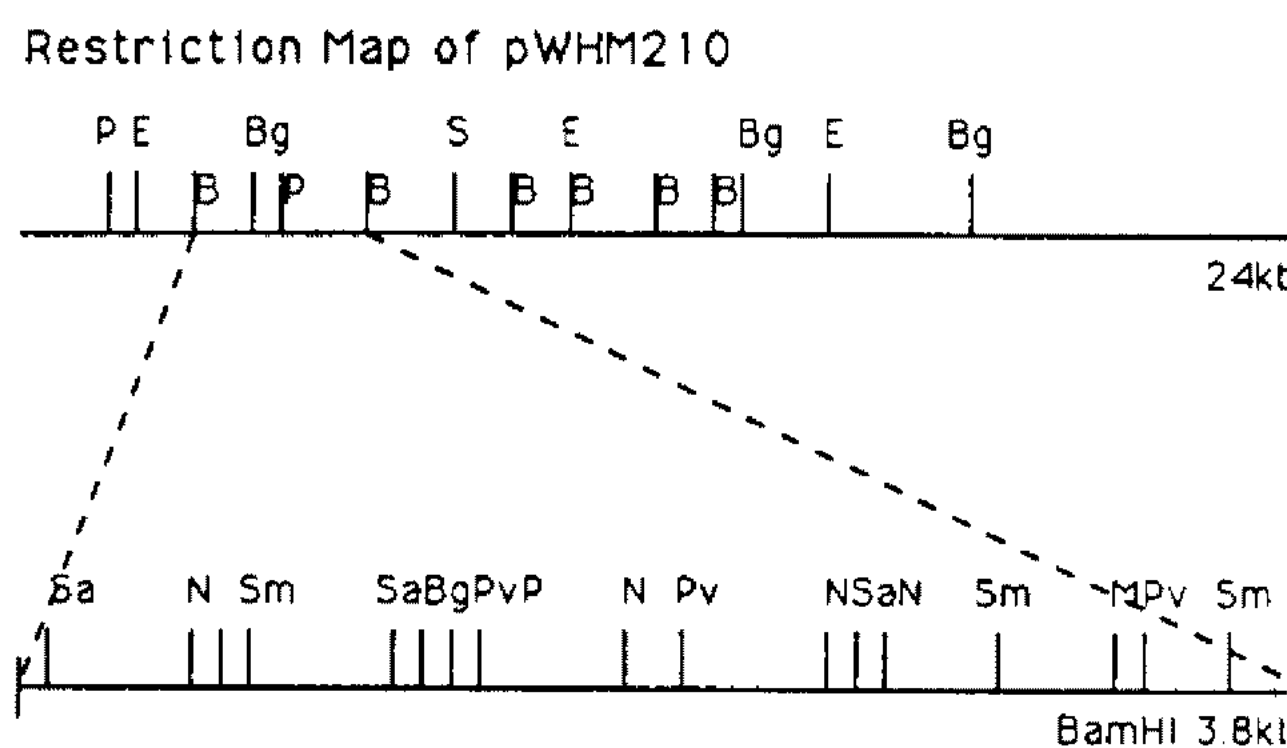


Fig. 1. pWHD210 with 24 kb insert DNA from *S. albus*, which hybridized with *actI*.

In pWHD210, BamHI 3.8 kb fragment hybridized with *actI*.

B, Bg, E, M, N, P, Pv, Sa and Sm indicate BamHI, BglII, EcoRI, MluI, NcoI, PstI, PvuII, SalI and SmaI, respectively.

보이는 물질이 생성되었다. 이 ionophore는 HPLC와 질량 분석에서 salinomycin과 동일한 성질을 보였다. 또한, 이 생성물은 [1^{14}C] propionate를 투여하였을 때 ^{14}C 으로 표지되었다(Hutchinson, C.R.; unpublished data). 따라서 이 물질이 polyketide 생합성 경로에 따라 salinomycin과 동일한 전구체로부터 생성됨을 추론할 수 있다. 이상의 실험 결과에서 pWHD 210에 cloning 된 24 kb의 *S. albus* DNA 내에 salinomycin의 생합성 관련 유전자들이 포함되어 있음을 추론할 수 있었다.

pWHD 210에 cloning 된 24 kb DNA에서 *actI* 유사 영역 즉 minimal PKS 유전자 부위를 분리하기 위하여 24 kb DNA의 BamHI, PstI 제한 효소 절편에 대하여 *actI*을 probe로 이용하여 Southern hybridization을 실시하였다(hybridization 조건은 pWHD 210의 분리 조건과 동일하다). 3.8 kb BamHI 절편과 1.5 kb, 2.3 kb PstI 절편이 *actI*에 hybridization 되었다 (Results not shown, PstI이 3.8 kb BamHI 절편을 1.5 kb와 2.3 kb으로 절단한다). 이 3.8 kb BamHI 절편을 pGEM-3zf(−)의 BamHI site에 cloning 하였다.

Cloning 된 3.8 kb DNA의 기능을 확인하기 위하여 complementation 실험을 진행하였다. *S. albus*의 salinomycin(−) 변종 중에는 그 유전적 성격이 정확히 파악된 것이 없는 까닭에 이 3.8 kb DNA 절편의 complementation 실험을 이종 *Streptomyces*인 *S. glaucescens*에 대하여 실시하였다. *S. glaucescens*는 aromatic polyketide인 tetracenomycin 생성 균주로서 유전적 성격이 정확히 파악된 tetracenomycin C(−) 변종들이 존재한다(Hutchinson, C.R.; personal communication). pIJ 702를 사용하여 *tcmIa*(KS/AT 유전자 부

위에 변이가 생겨 tetracenomycin C 생합성 과정중 최초의 효소적 반응이 차단된 것)를 3.8 kb BamHI 절편으로 형질 전환시켰을 때 형질 변환된 tetracenomycin(−) 변종에서 tetracenomycin 생성 능력이 회복됨을 확인할 수 있었다(Hutchinson, C.R.; unpublished data).

이상에서, 분리된 3.8 kb BamHI에 KS/AT 유전자 가 존재함을 확인할 수 있었으나, 이것이 salinomycin 생합성의 PKS의 일부인지는 확인할 수 없었다. 생성 균주인 *S. albus*에 대하여 'Gene disruption' 실험을 수행하여 그 기능을 확인하는 작업이 현재 진행중에 있다.

분리 유전자의 염기 서열 결정

*Streptomyces albus*에서 클로닝된 3.8 kb BamHI DNA 절편을 pGEM-3zf(−)의 BamHI site에 subcloning 하였다. 이 3.8 kb DNA 중 SalI 1.4 kb DNA 절편과 pGEM-3zf(−)의 polycloning site에 존재하는 SalI site와 3.8 kb insert의 SalI site로 얻어지는 1.2 kb DNA 절편을 M13mp19의 SalI site에 각각 양쪽 방향으로 subcloning 하였다. 1.2 kb SalI 절편에 대하여서는 이 영역내에 존재하는 SmaI, XhoI과 PvuII site로 subcloning 하여 template로 사용하였다(SmaI; 1.2 kb-M13 clone을 SmaI으로 절단한 후 self ligation 시켰다. insert DNA 내의 SmaI 절편을 분리한 후 SmaI으로 절단된 M13mp19에 ligation 시켰다. PvuII; insert DNA 내의 PvuII와 M13mp19 polycloning site 밖에 존재하는 PvuII(M13mp19 내의 PvuII의 위치; 6053, 6375, polycloning site의 위치; 6230-6288)로의 절단에 의해 얻어지는 DNA 절편을 분리한 후 SmaI으로 절단된 M13mp19에 ligation 시켰다. XhoI; XhoI, SalI double digestion으로 얻어지는 DNA 절편을 분리한 후 SalI으로 절단된 M13mp19에 ligation 시켰다). 1.4 kb 절편은 PvuII와 NcoI site를 이용하였다(PvuII; insert DNA 내의 PvuII와 M13mp19 polycloning site 밖에 존재하는 PvuII로의 절단에 의해 얻어지는 DNA 절편을 분리한 후 SmaI으로 절단된 M13mp19에 ligation 시켰다. NcoI; insert DNA 내의 NcoI 절편을 분리한 후 Klenow fragment 처리에 의한 방법으로 SmaI으로 절단된 M13mp19에 ligation 시켰다).

SalI site로 subcloning 된 clone 각각에 대하여서는 BamHI과 SacI digestion을 이용하여 Nested deletion을 진행하여 template를 준비하였다. 4개의 clone 중 1.2 kb SalI clone의 한 방향의 경우, BamHI digestion으로 insert DNA가 vector로부터 분리되어 Nes-

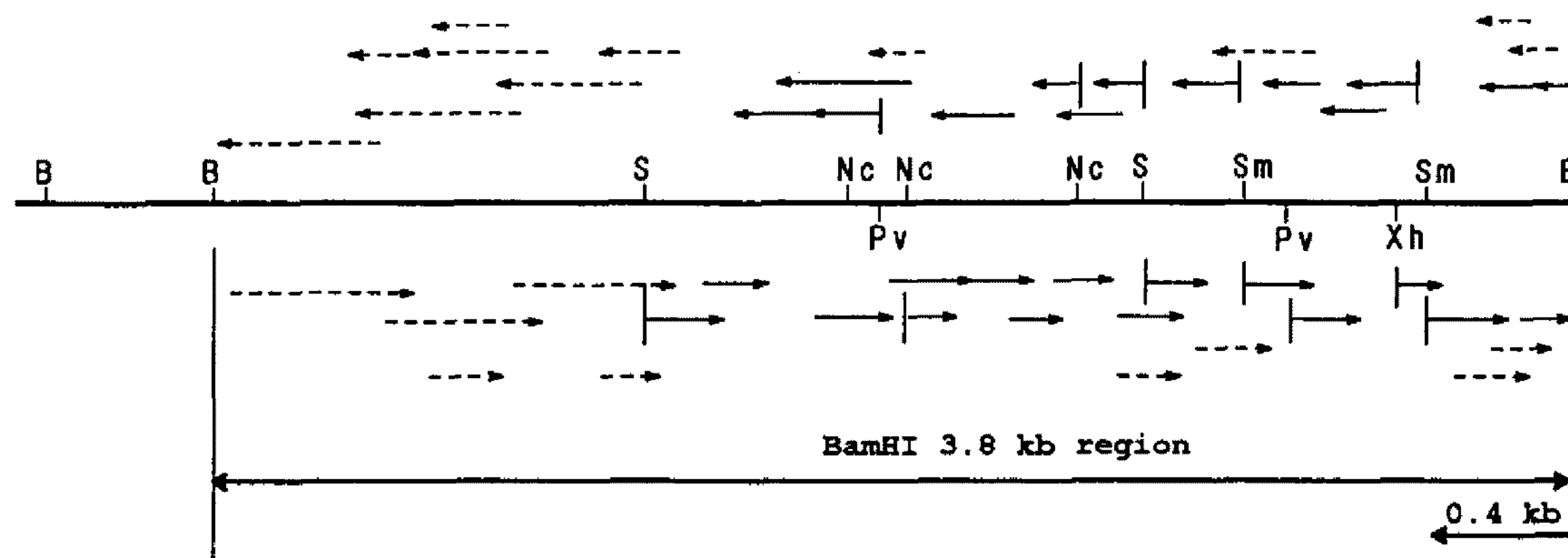


Fig. 2. Restriction map and sequencing strategy of the 3.8 kb DNA fragment from pWHM 210.

Clones used for sequencing were obtained as described in Material and Methods. The arrow indicate the extent of sequence obtained from each clones (The dashed arrow indicate the extent of sequence obtained using synthetic oligonucleotide as sequencing primer).

B, Nc, Pv, S, Sm and Xh indicate BamHI, NcoI, PvuII, Sall, SmaI and XbaI, respectively.

ted deletion을 진행할 수 없었다. 이는 pGEM-3zf(−) 내의 3.8 BamHI DNA를 Sall digestion으로 분리하는 과정 중에 pGEM-3zf(−) polycloning site의 BamHI site가 1.2 kb Sall DNA 절편의 말단에 존재하게 되었기 때문이다. 이를 clone의 연결 부위는 위에 설명한, 3.8 kb BamHI 절편으로 subcloning 된 pGEM-3zf(−)으로 Nested deletion을 진행하여 얻어진 clone을 이용하여 그 서열을 결정하였다. 이상 설명한 2.6 kb 영역에서 적당한 clone이 얻어지지 않은 부분과 compression 때문에 그 서열이 확실하지 않은 부분에 한하여서는 15~17 mer의 primer를 합성하여 염기 서열 결정을 진행하였다. 3.8 kb BamHI 절편중 이 2.6 kb 이외의 영역에 대하여서는 primer를 합성하여 그 염기 서열을 결정하였다. 이상 설명된 sequencing strategy를 도식화하면 Fig. 2와 같다.

유전자 염기 서열의 분석

결정된 염기 서열을 FRAME(1, 2)으로 분석하여 단백질 코딩 영역을 탐색하였으며, 얻어진 잠정적인 ORF에 대하여 16S rRNA와 결합 가능한 서열(Shine-Dalgarno sequence)이 적절한 위치에 존재하는지를 확인하였다. 이를 중 *actI* DNA 중 β-ketoacyl synthase/acyl transferase(KS)와 chain length determining factor(CLF)의 크기에 해당하는 두개의 완전한 ORFs가 존재함을 알 수 있었으며, 잠정적으로 ORF 1, ORF 2라 명명하였다. ORF 1은 TTG 번역 시작 코돈으로부터 -13 위치에 GGGAGG의 16S rRNA 결합 가능 서열이 존재하였으며, TGA를 끝으로 1272 bp의 길이를 취하고 있었다. ORF 1의 번역 시작 코돈은 TTG로서, 이 매우 드문 시작 코돈의 존재 예

가 *actI*-ORF 1, actinorhodin 생합성과정 중의 KS/AT 유전자, 등에서 보고되어졌다(6, 15). ORF 2의 경우는 -11 위치에 AGGAGC의 서열이 존재하며, ATG를 시작 암호로 TGA까지 1212 bp이다. 이들의 G+C 함량은 각각 70.7%, 74.3%이며, 둘 모두에 있어서 TTT나 TTA 코돈은 존재하지 않는다(27). ORF 1과 ORF 2는 DNASIS(Pharmacia)의 DNA Homology Search program에서 55.0%의 유사성을 보였다 (Fig. 3., ORF 1, 2의 염기 서열).

유추 아미노산 서열의 분석

ORF 1과 2의 유추 아미노산 서열은 PROSIS(Parmacia)의 Protein Homology Search program에서 상호간에 38.9%의 유사성을 보였다. Fig. 4에 이들의 Homology Plot(PROSIS, Parmacia)이 제시되어 있다. ORF 1의 번역 종말 코돈과 ORF 2의 번역 시작 코돈이 ATGA의 배열로서 겹쳐 존재함으로서 이 둘의 번역이 함께 이루어져, 생성물이 유사 이배수체로 존재함을 짐작할 수 있다(2). 이와 같은 염기 서열의 성향은 알려진 type II PKS의 KS/AT, CLF 유전자들의 일반적인 성격과 일치하는 것이다.

ORF 1, 2의 유추 아미노산 서열을 PROSIS(Parmacia) Homology Search program으로 알려진 type II PKS 유추 서열과 비교 분석하였다. ORF 1은 *tcmK*, tetracenomycin 생합성의 KS 유전자와 ORF 2는 *tcmL*, tetracenomycin 생합성의 CLF 유전자의 유추 아미노산 서열과 각각 66.9%, 56.7%의 유사성을 보였다. 위에 설명한 p-WHM 210의 문자 생물학적, 생화학적 연구 결과와 결정된 서열의 분석 결과에 기초하여 ORF 1, 2는 *Streptomyces albus* 내의 poly-

Sai B

CTA CAG CTC GGA GGC CTC CGC TTA AGC GCG CGA CGC GTT GTG ATC ACC
GCG ATC GAG GTG ATC GGC CCC GCG GGT GTC GGC AGG GAA AAC TTC GCG
Gly Ile Glu Val Ile Ala Pro Gly Gly Val Gly Arg Glu Asn Phe Trp
AAC CTG CTG AGC AAC GGC CGT ACC GCG ACA CGG GGC ATC ACC TTC ITC
Asn Leu Leu Ser Asn Gly Arg Thr Ala Thr Arg Gly Ile Thr Phe Phe
GAC CGC GGC CCC TTC CGC TCC CGG GTC GGC GCA GAA GCG GAC TTC GAC
Asp Pro Ala Pro Phe Arg Ser Arg Val Ala Ala Glu Ala Asp Phe Asp
CCC TAC GAG CAC GGC CTG ACC CGG CAG GAG GTC CGC CGC CGC CGC CGC
Pro Tyr Glu His Gly Leu Thr Pro Gln Glu Val Arg Arg Leu Asp Arg
GCC CGC CAG TTC CGC GTC CGC CGC TCG CGC CGC CGC CGC CGC CGC
Ala Ala Gln Phe Ala Val Val Ala Ser Arg Gly Ala Val Ala Asp Ser
GGC CTC GAC ATC CGC TCC CGT GAC CGG CAC CGC GTC GGC ACC GTC ACC GTC
Gly Leu Asp Ile Pro Ser Leu Asp Pro His Arg Val Gly Val Thr Val
GGC AGC GGC GTC CGC CGC ACG ATG GGC CGT GAC CAG GAG TAC CGG GTC
Gly Ser Ala Val Gly Ala Thr Met Gly Leu Asp Gln Glu Tyr Arg Val
GTC ACG GAC CGG GGA CGG CGT GAC ACG GTC GAC CAG ACC TAC CGG GTC
Val Ser Asp Gly Gly Arg Leu Asp Thr Val Asp His Thr Tyr Ala Val
CGG CAC CTG TAC GAC TAC ATG GTC CGC AGC TCC CGC CGC CGC CGC CGC
Pro His Leu Tyr Asp Tyr Met Val Pro Ser Ser Phe Ala Ala Glu Val
GCC TGG CGG CGG CGC GAA CGC CGC CGC AGC ACC GTC GTC CGC ACC CGC
Ala Trp Ala Val Gly Ala Glu Gly Pro Ser Thr Val Val Ser Thr Gly
TGC ACC TCC GGC ATC GAC TCC GTC CGC TAC CGC GAA CGA GTC GTC CGC
Cys Thr Ser Gly Ile Asp Ser Val Gly Tyr Ala Val Glu Leu Val Arg
GAG GGA TCG GCC GAC GTC GTG ATC CGC CGC TCC TCC GAC CGG CGC ATC
Glu Gly Ser Ala Asp Val Val Ile Ala Gly Ser Ser Asp Ala Pro Ile
TCA CGG ATC ACC ATG GGC TAC TTC GAC CGG ATC AAG CGG ACC ACC CGC
Ser Pro Ile Thr Met Ala Cys Phe Asp Ala Ile Lys Ala Thr Thr Pro
CGC CAC SAC GAA CGC GAG TGC CGC TCC CGG CGC CGC CGC CGC CGC
Arg His Asp Glu Pro Glu Cys Ala Ser Arg Pro Phe Asp Lys Thr Arg
AAC GGA TTC GTC CTC CGC GAG GGA ACC CGC TCC TTC GTC CGT GAG GAA
Asn Gly Phe Val Leu Gly Glu Gly Thr Ala Phe Phe Val Leu Glu Glu
CTC GAC AGC CGC CGC AAG CGC
Leu Asp Ser Ala Arg Lys Arg Gly Ala His Ile Tyr Ala Glu Ile Ala
GGC TAC CGC ACC CSC TCC AAC GGC TAC CAC ATG ACG GGC CGC CGC CGC
Gly Tyr Ala Thr Arg Ser Asn Ala Tyr His Met Thr Gly Leu Arg Pro
GAC CGC GTG GAG ATG GGC GAG CGC ATC GAC CGT CGC CGC CGC GAG CGC
Asp Gly Val Glu Met Ala Glu Ala Ile Asp Leu Ala Leu Glu Glu Ala
CGG CTG AAC CGG CAB TCC ATC GAC TAC ATC AAC CGC CGC CGC CGC CGC
Arg Leu Asn Pro Gln Ser Ile Asp Tyr Ile Asn Ala His Gly Ser Gly
ACC AAA CAG AAC GAC CGG CAC GAG ATG CGC CGC CGC CGC CGC CGC CGC
Thr Lys Gln Asn Asp Arg His Glu Thr Ala Ala Phe Lys Arg Ser Leu
GGC GAC CAC CGC TAC CGC ACC CGC GTC CGC CGC CGC CGC CGC CGC CGC
Gly Asp His Ala Tyr Arg Thr Pro Val Ser Ser Ile Lys Ser Met Val
GGG CAC TCG CTC CGC CGC ATC CGC CGC CGC CGC CGC CGC CGC CGC CGC
Gly His Ser Leu Gly Ala Ile Gly Ser Ile Glu Ile Ala Ala Ser Ala
CTC CGC ATG GAG TAC GAC GTC CGC CGC CGC CGC CGC AAC CGC CAC ACC
Leu Ala Met Glu Tyr Asp Val Val Pro Pro Thr Ala Asn Leu His Thr
CCC GAC CGC GAG TCG GAC CTC CGC TAC CGT CGC CGC CGC CGC CGC CGC
Pro Asp Pro Glu Cys Asp Leu Asp Tyr Val Pro Leu Val Ala Arg Asp
GAG CTG ATC GAC CGC GTC CTC AGC GTC CGC AGC GGA TTC CGC CGC CGC
Gin Leu Ile Asp Ala Val Leu Thr Val Gly Ser Gly Phe Gly Phe

Sal C

Seq C	1290 ATG ACC GGC TCC GTG GTG ACC GGC Met Thr Ala Ser Val Val Val Thr Gly	1316
GTC GGC GTC GTC TCA CCC AAC GGC ATG GCG GTG AAG GAC TAC TGG GCG Leu Gly Val Val Ser Pro Asn Gly Met Gly Val Lys Asp Tyr Trp Ala	1364	
GCC ACC CTG GGC GGC AAG CAC GAC GGC ATC GGC CGC ATC ACC CGC TTC GAC Ala Thr Leu Gly Gly Lys His Gly Ile Gly Arg Ile Thr Arg Phe Asp	1412	
CCC ACC GGC TAC CGG CCC CGT CTG GCG GAG CAG ATC GAG GAC TTC GAC Pro Thr Gly Tyr Pro Pro Arg Leu Ala Gly Glu Ile Glu Asp Phe Asp	1460	
GCC GAG GAA CTG CTG CGG AGC CGG CTG CTG CGG CAG ACC GAC CGC GTC Ala Glu Glu Leu Leu Pro Ser Arg Leu Leu Pro Glu Thr Asp Arg Val	1508	
ACC CGG CTG GCC CTG GTC GCG GCG ATC TGG GCA CTC CGC GAG SAC GGC GCG Thr Arg Leu Ala Leu Val Ala Ala Ile Trp Ala Leu Ala Asp Ala Gly	1556	
GCC GAC CGC GCG CAC CTG GCG GAG TTC GAC ATG GGC GTC ATC ACC CGC Ala Asp Pro Ala His Leu Pro Glu Phe Asp Met Gly Val Ile Thr Ala	1604	
TCC GCG GCG GGC GGC TTC GAG TTC GGC CGG GCG GAA CTG CAG CGC CTG Ser Ala Ala Gly Gly Phe Glu Phe Gly Glu Glu Leu Glu Ala Leu	1652	
TGG AGC CAG GGC AGC CAG TAC TTC TCC GCG TAC CAG TCC TTC GCG TGG Trp Ser Glu Gly Ser Glu Tyr Val Ser Ala Tyr Glu Ser Phe Ala Trp	1700	
TTC TAC GCC GTC AAC AGC GGC CAG ATC TCC ATC CGC AAC GGC ATG AAC Phe Tyr Ala Val Asn Ser Gly Glu Ile Ser Ile Arg Asn Gly Met Lys	1748	
GGC CGC TCC GGC GTC GTC GTC AGC GAA GGC GCG GGC GGC CTG GAC GGC Gly Pro Ser Gly Val Val Val Ser Glu Gly Ala Gly Glu Leu Asp Ala	1796	
GTC GCG CAG GCT CGC CGG CAG ATC CGC CGG GCG ACC CGG CTG ATC GTC Val Ala Glu Ala Arg Arg Glu Ile Arg Arg Gly Thr Pro Leu Ile Val	1844	
ACC GGC GGC GTC GAC GGC TCC ATC TGC CGG TGG GCG TGG GTC GGC CAG Thr Gly Glu Val Asp Ala Ser Ile Cys Pro Trp Gly Trp Val Ala Glu	1892	
CTG CCT TGC GGC CGG CTC ACC ACC AGC GAC GAA CGC SAC CAC GGC TAC Leu Ala Cys Glu Arg Leu Thr Thr Ser Asp Glu Pro Asp His Ala Tyr	1940	
CTG CGC TTC GAC CGC GAC GCG AAC GGC TAC GTC CCC GGA GAG GGC GGC Leu Pro Phe Asp Arg Asp Ala Asn Gly Tyr Val Pro Glu Glu Gly Glu	1988	
GCG ATC CTG ATC GCC GAG GAC GGC GAT GCG GCA CGC CGC CGC GTC Ala Ile Leu Ile Ala Glu Asp Ala Asp Ala Arg Ala Arg Gly Val	2036	
CGC CGC TAC GGC GAG GTC GGC GGC TAC GGA CGC ACC ATC GAT CGC CGG Arg Pro Tyr Gly Glu Val Ala Gly Tyr Gly Ala Thr Ile Asp Pro Arg	2084	
CGC GGC AGC GGA CGC GAA CGC AAC ATC TGG GCG AAC ATC GAG ACC GCA Pro Gly Ser Gly Arg Glu Pro Asn Leu Ala Lys Ala Ile Glu Thr Ala	2132	
CTG CGC GAC CGC GAC GTG AAC CGC GAC ATC GAC GTC GTC GTC GTC Leu Ala Asp Ala Asp Val Asn Ala Ala Asp Ile Asp Val Val Phe Ala	2180	
GAC CGC CGC CGC ACC CGG CGC GGC GAC TTC CGC GAG GCG CGC CGC CGC Asp Ala Pro Ala Thr Arg Ala Glu Asp Leu Ala Glu Ala Arg Ala Val	2228	
AGC AGC GTC TTC GGC GAC CGG CGC GTC CGG GTC AGC GTC CGC AAC ACC Ser Thr Val Phe Gly Asp Arg Gly Val Pro Val Thr Val Pro Lys Thr	2276	
ATG ACC GGG CGC CTG TAC TCC GGC GGC CGG CGC CGC GAC CTG GCG GGC Met Thr Gly Arg Leu Tyr Ser Gly Glu Ala Pro Leu Asp Leu Ala Ala	2324	
GCG TTC GTC GGC CTG CGC GAC GGC GTC ATC CGC CGC ACC GTC CAC ATC Ala Phe Leu Ala Leu Arg Asp Glu Val Ile Pro Pro Thr Val His Ile	2372	
GAC CGC TGC GGC GAC TAC CGC TTC GAC CTG GTC GTC CGC GAA CGC CGC Asp Pro Cys Ala Asp Tyr Pro Leu Asp Leu Val Leu Glu Glu Pro Arg	2420	
CGC GGC GAG CTG CGC ACC CGC CTG GTC GTC CGC CGG GGA CGC CGC CGC Pro Ala Glu Leu Arg Thr Ala Leu Val Leu Ala Arg Gly Ala Gly Glu	2468	
TTC AAC TCC GGC Arg GTC GTC GTC CGC CGC CGC TGA Phe Asn Ser Ala Met Val Val Arg Ala Ala TTT	2501	

Fig. 3. The nucleotide sequence of DNA region encompassing two ORFs, *salB*, C.

The translational start and stop sites and the potential ribosomal binding sites preceding the ORFs are in boldface and underlined. The predicted amino acid sequence was shown above the nucleotide sequence.

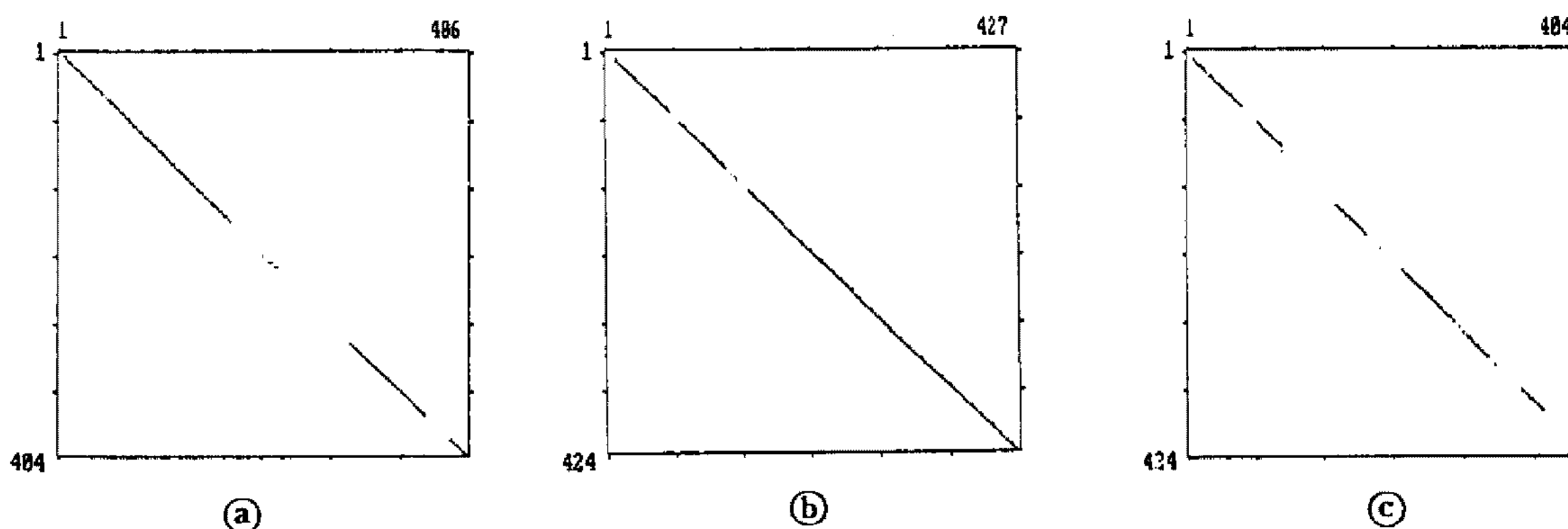


Fig. 4. Homology plot of the predicted protein product (window size, a stringency).

The nucleotide sequences of *tcmk*, *l* were obtained from EMBL library with Database Access of DNASIS.

- a) SalB versus SalC (30, 17)
 - b) SalB versus TcmK, decaketide cyclase of tetracenomycin biosynthesis in *Streptomyces glaucescens* (30, 20)
 - c) SalC versus TcmL, in tetracenomycin biosynthesis in *Streptomyces glaucescens* (30, 20)

ketide 생합성에 관여하는 type II PKS 유전자로 여겨지며, 이들이 코딩하는 단백질은 생합성 과정의 초기 과정에 관여함을 간접적으로 알 수 있었다. 이에 ORF 1, 2를 각각 *salB*, *C*로 잠정적으로 명명하였다.

*salB, C*의 유추 아미노산 서열의 TcmK와 TcmL에 대한 Homology Plot(PROSIS, Parmacia)⁵⁾ Fig. 4에 제시되어 있다.

KS/AT, CLF는 ACP와 함께 polyketide 생합성의



Fig. 5. Alignments of the putative active sites for the SalB with other FASs and PKSs from different origins (Fernandez-Moreno, M.A., 1992).

A derived consensus sequence is given below. The conserved residues are in boldface.

Ratfas, rat FAS; *Scfas* 2, *S. cerevisiae* FAS 2; *Scfas* 1 *S. cerevisiae* FAS 1; *Ppfas*, *P. patulum* MSA synthase; *DEBS* 3 (C, N), *S. erythraea* *eryA*-ORF A, domains C and N; *Sgcmorf* 1, *S. glaucescens* *tcmI*-ORF 1; *Svgraorf* 1, *S. violaceoruber* *gra*-ORF 1; *ActIorf* 1, *S. coelicolor* *actI*-ORF 3; *SalB*, *S. albus* *salB*.

최초 과정에 관여한다고 믿어지고 있으며, 이들 minimal PKS의 작용 기작이 구체적으로 입증된 것은 근래 이루어진 chimeric PKS의 발현 결과에 기인하는 것이다(7, 8, 13, 14, 18, 19, 24). Minimal PKS는 acetyl CoA, propionyl CoA, malonyl CoA 등의 acyl 전구체로부터 oligoketide를 생합성한다. 생성된 oligoketide는 KS/AT-CLF의 영향하에 최초의 cyclization 반응을 거치게 된다. 이 cyclization은 알려진 몇 가지의 경우를 제외하고는 C-7과 C-12 사이에 일정하게 진행된다. 현재까지 그 생성 oligoketide에 대한 특이성이 매우 이완되어 있는 *fren*(18)과 특이한 유전자 구조를 갖고 있는 *tcm*, tetracenomycin 생합성 유전자(25) 만이 이 항상성을 벗어난다(7, 8). 두 번째 cyclization은 aromatase(6, 20, *actVII*의 생성물)에 의해 진행되는데, 현재까지 알려진 바에 의하면 이들의 특이성은 minimal PKS의 영향을 받지 않으며, 첫 번째 cyclization을 거친 polyketide의 골격의 성격, 탄소 골격의 수와 ketoreduction의 유무 등에 영향을

받는 듯하다. 따라서, 다양한 polyketide 구조의 기본 골격은 KS/AT와 CLF의 작용에 의해 결정되어진다고 말할 수 있다(20).

SalB, C와 대표적인 타 type II PKS 간의 비교 분석

알려진 몇몇 type II PKS에 대하여 β -keto acyl synthase의 유추 아미노산 서열을 비교하면 그 서열의 보존도가 매우 높음을 알 수 있다. KS/AT에 있어서 예상되는 활성 부위는 VSTGCTSGLD-V와 GHSL-GA이며 기질의 thio acyl기가 cysteine의 -SH에 결합하며, 사슬 연결 단위는 serine의 -OH에 결합한다고 여겨진다(2, 12). 그러나, CLF의 경우는 이러한 활성 부위가 발견되지 않았으며, 각 유전자들 사이의 유사성에 있어서 KS와 같은 전 영역에 걸친 유사성은 보이지 않는다. *S. albus*로부터 분리한 유전자의 염기 서열이 위에 열거된 조건들을 만족함을 유추 아미노산 서열의 비교로부터 확인할 수 있었다. SalB와 대표적인 type II PKS의 KS 및 AT의 활성 부위를 비교 분석하면 Fig. 5와 같다.

요약

Polyketide 계 이온 투과성 항생제인 salinomycin의 생성 균주인 *Streptomyces albus*에서 그 생합성 유전자를 분리하기 위하여, *actI*을 probe로 이용하여 *S. albus* ATCC 21838 유전자 library로부터 약 24 kb의 *S. albus* DNA를 포함하고 있는 pWHM 210을 분리하였다. 이 24 kb DNA 중에서 *actI*에 유사성을 보이는 3.8 kb BamHI 절편을 분리하여 염기 서열을 결정, 분석하였다. 이 영역에 존재하는 두 개의 완전한 ORFs가 type II PKS(polyketide synthase)의 β -keto acyl synthase/acyl transferase와 chain length determining factor 유전자에 해당하는 것임을 확인할 수 있었다. 이들은 잘 보존된 minimal type II PKS 유전자의 일부로, 알려진 다른 type II PKS 유전자들과 높은 유사성을 보였다.

감사의 글

본 연구는 학술진흥재단의 1991~4년도 대학부설 연구소 지원연구비 및 과학재단의 우수연구센터(서울대학교 분자미생물학 연구센터) 지원연구비(JWS) 와 미국 NIH grant GM 25799(CRH)의 지원에 의한 것이며, 이에 감사 드립니다.

참고문헌

1. Bibb, M.J., P.R. Findlay, and M.W. Johnson. 1984. The relationship between base composition and codon usage in bacterial genes and its use for the simple and reliable identification of protein encoding sequence. *Gene* **30**: 157-166.
2. Bibb, M.J., B. Sandor, M. Haideh, F.C. John, and C.R. Hutchinson. 1989. Analysis of the nucleotide sequence of the *Streptomyces glaucescens tcm* I genes provides key information about the enzymology of polyketide antibiotic biosynthesis. *EMBO J.* **8**: 2727-2736.
3. Cortes, J., S.F. Haydock, G.A. Roberts, D.J. Bevitt, and P.F. Leadley. 1990. An unusually large multifunctional polyketide in the erythromycin-producing polyketide synthase of *Saccharopolyspora erythraea*. *Nature* **348**: 176-178.
4. Donadio, S., M.J. Staver, J.B. MaAlpine, S.J. Swanson, and L. Katz. 1991. Modular organization of genes required for complex polyketide biosynthesis. *Science* **252**: 675-679.
5. Donadio, S. and L. Katz. 1992. Organization of the enzyme domains in the multifunctional polyketide synthase involved in erythromycin formation in *Saccharopolyspora erythraea*. *Gene* **111**: 51-60.
6. Fernandez, M., M.A., E. Matinez, L. Boto, D.A. Hopwood, and F. Malpartida. 1992. Nucleotide sequence and deduced functions of a set of co-translated genes of *Streptomyces coelicolor* A3(2) including the polyketide synthase for the antibiotic actinorhodin. *J. Bio. Chem.* **267**: 19278-19290.
7. Fu, H., S.E. Khosla, D.A. Hopwood, and C. Khosla. 1994. Engineered biosynthesis of novel polyketide: Dissection of the catalytic specificity of the act ketoreductase. *J.A.C.S.* **116**: 4166-4176.
8. Fu, H., R. McDaniel, D.A. Hopwood, and C. Khosla. 1994. Engineered biosynthesis of novel polyketide: Stereochemical course of two reaction catalyzed by a polyketide synthase. *Biochemistry* **33**: 9321-9326.
9. Hallam, S.E., F. Malpartida, and D.A. Hopwood. 1988. DNA sequence, transcription and deduced function of a gene involved in polyketide antibiotic biosynthesis in *Streptomyces coelicolor*. *Gene* **74**: 305-320.
10. Hopwood, D.A., F. Malpartida, H.M. Kieser, H. Ikeda, J. Duncan, I. Fujii, B.A.M. Rudd, H.G. Floss, and S. Mura. 1985. Production of 'hybrid' antibiotics by genetic engineering. *Nature* **314**: 642-644.
11. Hopwood, D.A. and D.H. Sherman. 1990. Molecular genetics of polyketide and its comparison to fatty acid biosynthesis. *Annu. Rev. Genet.* **24**: 37-66.
12. Hutchinson, C.R., H. Decker, H. Motamedi, B. Shen, R.G. Summer, E. Wendt-Pienkowski, and W.L. Wessel. 1992. Molecular genetics and biochemistry of type II polyketide synthase from the perspective of tetracenomycin C biosynthesis in *Streptomyces glaucescens*. *Actinomycetologia* **6**: 49-68.
13. Katz, L. and S. Donadio. 1993. Polyketide synthesis: prospects for hybrid antibiotics. *Ann. Rev. Microbiol.* **47**: 875-912.
14. Khosla, C., R. McDaniel, S.E. Khosla, R. Torres, D.A. Sherman, M.J. Bibb, and D.A. Hopwood. 1993. Genetic construction and functional analysis of hybrid polyketide synthase containing heterologous acyl carrier proteins. *J. Bacteriol.* **175**: 2197-2204.
15. Leskiw, B.K., M. Mevarech, L.S. Barritt, S.E. Jensen, D.J. Henderson, D.A. Hopwood, C.J. Bruton, and K.F. Chater. 1990. Discovery of an insertion sequence, IS116, from *Sterptomyces clavuligerus* and its relatedness to other transposable elements from actinomycetes. *J. Gen. Microbiol.* **136**: 1251-1258.
16. Malpatida, F., S.E. Hallam, H.M. Kieser, H. Motamedi, C.R. Hutchinson, M.J. Butler, D.A. Sugden, M. Warren, C. McKillop, C.R. Bailey, G.O. Humphreys, and D.A. Hopwood. 1987. Homology between *Streptomyces* genes coding for synthesis of different polyketide used to clone antibiotic biosynthetic genes. *Nature* **325**: 818-821.
17. Marsden, A.F.A., P. Caffrey, J.F. Aparicio, M.S. Loughran, J. Staunton, and P.F. Leadley. 1994. Stereospecific acyl transfer on the erythromycin-producing polyketide synthase. *Science* **263**: 378-380.
18. McDaniel, R., S.E. Khosla, D.A. Hopwood, and C. Khosla. 1993. Engineered biosynthesis of novel polyketide: Manipulation and analysis of an aromatic polyketide synthase with unproven catalytic specificities. *J.A.C.S.* **115**: 11671-11675.
19. McDaniel, R., S.E. Khosla, D.A. Hopwood, and C. Khosla. 1993. Engineered biosynthesis of novel polyketide. *Science* **262**: 1546-1550.
20. McDaniel, R., S.E. Khosla, D.A. Hopwood, and C. Khosla. 1994. Engineered biosynthesis of novel polyketide: *act VII* and *act IV* genes encode aromatase and cyclase enzymes, respectively. *JOAC* **116**: 10855-10859.
21. Omura, S., H. Ikeda, F. Malpatida, H.M. Kieser, and D.A. Hopwood. 1986. Production of new hybrid antibiotics, mederrhodins A and B, by genetically engineered strain. *Antimicro. Agents Chemother.* **29**: 13-19.
22. Sambrook, J., E.F. Fritsch, and M. Maniatis,

1982. Molecular Cloning: A Laboratory Manual. Cold Spring Harbor Press. Cold Spring Harbor, NY.
23. Sanger, F., S. Nicklen, and A.R. Coulson. 1977. DNA sequencing with chain termination inhibitor. *Proc. Natl. Acad. Sci. USA.* **74:** 5463-5467.
24. Sherman, D.H., E.S. Kim, M.J. Bibb, and D.A. Hopwood. 1992. Functional replacement of genes for individual polyketide synthase components in *Streptomyces coelicolor* A3(2) by heterologous genes from a different polyketide pathway. *J. Bacteriol.* **174:** 6184-6190.
25. Summers, R.G., E. Wendt-Pienkowski, H. Motamedi, and C.R. Hutchinson. 1992. Nucleotide Sequence of the *tcm* II-*tcm* IV Region of the Tetra-cenomycin C Biosynthetic Gene Cluster of *Streptomyces glaucescens* and Evidence that the *tcmN* Gene Encodes a Multifunctional Cyclase-Dehydratase-O-Methyl Transferase. *J. Bacteriol.* **174:** 1810-1820.
26. Westley, J.W. 1977. Polyether antibiotics: versatile carboxylic acid ionophores produced by Streptomyces. *Adv. Appl. Microbiol.* **22:** 177.
27. Wright, F. and M.J. Bibb. 1992. Codon usage in the G+C-rich *Streptomyces* genome. *Gene* **113:** 55-65.

(Received 10 January 1995)